

## 소수력발전소의 성능예측

박 원순<sup>1)</sup>, 이 철형<sup>2)</sup>

### A Study on the Performance Prediction for Small Hydro Power Plants

Wansoon Park, Chulhyung Lee

**Key words :** Small hydro power(소수력발전), Flow duration curve(유량지속곡선), Design flowrate(설계유량), Operational rate(기동률), Annual electricity production(연간전기생산량)

**Abstract :** This paper presents the methodology to analyze flow duration characteristics and performance prediction for small hydro power(SHP) plants and its application. The flow duration curve can be decided by using monthly rainfall data at the most of the SHP sites with no useful hydrological data.

It was proved that the monthly rainfall data can be characterized by using the cumulative density function of Weibull distribution and Thiessen method were adopted to decide flow duration curve at SHP plants. And, the performance prediction has been studied and development. One SHP plant was selected and performance characteristics was analyzed by using the developed technique. Primary design specifications such as design flowrate, plant capacity, operational rate and annual electricity production for the SHP plant were estimated. It was found that the methodology developed in this study can be a useful tool to predict the performance of SHP plants and candidate sites in Korea.

#### Nomenclature

$D(q_i)$ : function of flow duration

$L_f$  : operational rate(%)

$P_i$  : hydro energy(kW)

$P_a$  : electricity production(kWh)

자료를 이용할 수 없는 소수력 개발의 경우 시간과 경비 등 여러 가지 제한을 고려할 때 수문학적인 근거에 바탕을 둔 비교적 간편한 기상 및 지형정보와 경험적인 가정치만을 요구하는 방법 등을 개발하여 이용하는 것이 바람직할 것이다<sup>2,7)</sup>.

따라서 본 연구는 소수력 발전소의 성능예측 기법을 구축하기 위한 것이며, 이와 같이 구축된 성능예측 기법을 기존 소수력 발전소 등에 적용하여 기법의 신뢰성을 확인하였다.

## 1. 서 론

소수력 발전은 다른 발전방식에 비해 환경에 대한 영향이 거의 없어 깨끗하고 재생이 가능한 에너지로 그 경제성은 발전지점의 특성, 개발형식, 설비용량 등에 따라 큰 영향을 받는다. 따라서 효과적인 소수력 개발을 위해서는 영향인자들에 대한 정확한 분석이 수행되어야만 한다<sup>1)</sup>.

유량의 실측자료가 매우 부족하여 개발지점의 계측

1) 한국에너지기술연구원

E-mail : pwsn@kier.re.kr  
Tel : (042)860-3432 Fax : (042)860-3739

2) 한국에너지기술연구원

E-mail : lchg@kier.re.kr  
Tel : (042)860-3437 Fax : (042)860-3739

## 2. 소수력 발전소의 성능예측 기법 구축

### 2.1 소수력 발전소의 유량지속특성

소수력 개발 지점에서의 유량지속곡선을 나타내는 유량지속곡선함수  $D(q_i)$ 는 누적분포함수  $F(q_i)$ 와 다음과 같은 관계를 갖는다<sup>2)</sup>.

$$D(q_i) = W_i - F(q_i) = \sum W_i \exp - \left( \frac{q_i}{\beta_i} \right)^{\alpha_i} \quad (1)$$

### 2.2 소수력 발전소의 성능예측

소수력 발전소에서 얻을 수 있는 순수한 소수력 에너지  $P_i$ 는 다음과 같다<sup>4)</sup>.

$$P_i = \rho g Q H \quad (2)$$

소수력 발전소에서 얻을 수 있는 단위시간당 생산되는 평균 전기에너지양  $P_a$ 를 구하면 다음과 같다.

$$\begin{aligned} P_a &= \rho g H \sum \int_0^{Q_r} n_s A i q_i P(qi) dq_i \\ &\quad + \rho g H n_s Q_r \sum \int_{Q_r}^{\infty} P(qi) dq_i \quad (3) \\ &= P_1 + P_2 \end{aligned}$$

또한 소수력 발전소의 설비용량  $C$ , 연평균가동율  $L_f$ , 연간에너지생산량  $E_a$ 는 다음과 같이 산정된다.

$$C = \rho g H_e Q_r n_s \quad (5)$$

$$L_f = (S_1 + S_2) / Q_r \quad (6)$$

$$E_a = 8,760 C L_f \quad (7)$$

### 2.3 소수력 발전소의 출력 저하량 예측

낙차변화를 고려한 실제 가동율은 다음과 같이 표시 할 수 있다.

$$L_R = L_f \times (1 - \Delta L_f) \quad (8)$$

가동율 저하율  $\Delta L_f$ 은 식(9)와 같이 유효낙차의 함수로 표시된다.

$$\Delta L_f = -0.1825 H_e + 7.398 \quad (9)$$

### 3. 소수력발전소의 성능예측 영향인자 검토

소수력발전소의 성능에 영향을 주는 인자로는 유출계수<sup>5)</sup>, Weibull 분포의 형상계수 ( $\alpha$ ) 및 Weibull 분포의 척도계수 ( $\beta$ ) 등을 들 수 있으며, 본 연구에서는 이들 인자 중 유출계수가 유량지속특성과 시스템의 가동율에 미치는 영향을 분석하였다.

#### 3.1 유출계수

##### 3.1.1 유량지속특성과의 관계

유출계수의 유량지속특성에 미치는 영향을 분석하기 위하여 한강수계에 위치한 유역면적이 634.6km<sup>2</sup>인 평창 강 유역을 선정하였으며, 형상계수  $\alpha$ 와 척도계수  $\beta$ 가 일정하고, 낙차  $H$ 와 시스템효율  $n_s$ 가 일정할 때 유출계수 변화에 따른 유량지속곡선의 변화를 Fig. 1에 나타내었다.

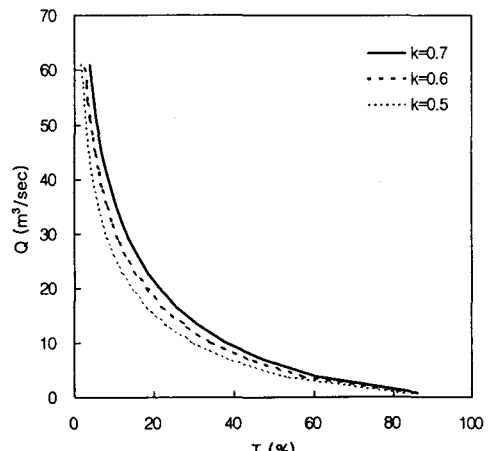


Fig. 1. Flow duration characteristic versus runoff coefficient.

### 3.1.2 시스템 가동율과의 관계

평창강 유역의 형상계수  $\alpha$ 와 척도계수  $\beta$ 가 일정하고, 낙차  $H$ 와 시스템효율  $\eta_s$ 가 일정할 때 유출계수 변화에 따른 가동율의 변화를 Fig. 2에 나타내었다.

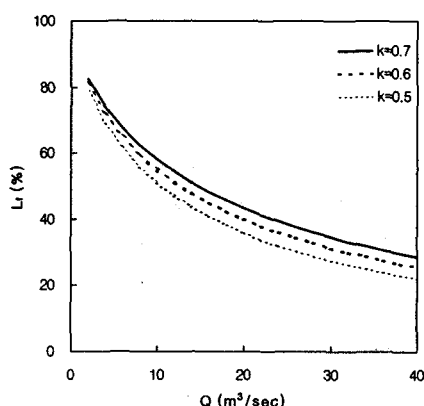


Fig. 2. Operational rate versus runoff coefficient.

### 3.1.3 설계유량 산정을 위한 정격 출력과의 관계

Fig. 3은 평창강 유역에 대하여 유출계수 변화에 따른 설계유량 산정의 지표가 되는 정격출력  $P_2$ 의 최대값<sup>6)</sup> 변화를 나타내고 있다.

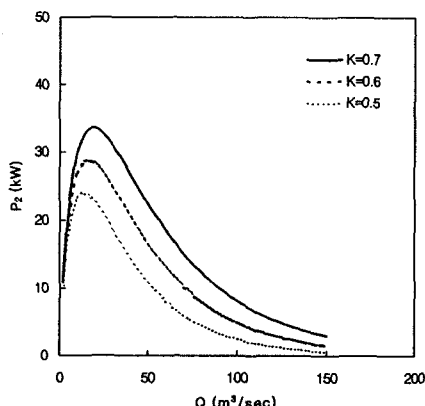


Fig. 3. Rated power versus runoff coefficient.

Fig. 1, Fig. 2 및 Fig. 3에 나타난 바와같이 유출계수에 따라 유량지속특성, 가동율 및 정격출력

등이 크게 변화함을 알 수 있다. 또한 Weibull 분포의 형상계수( $\alpha$ )와 척도계수( $\beta$ ) 등도 성능에 영향을 미치는 중요한 인자이다.

## 4. 성능예측 기법의 검토 및 결과

### 4.1 A 소수력 발전소

A 소수력 발전소는 낙동강 수계의 상류에 위치하며, 초기 설계 제원은 Table 1과 같이 요약된다.

Fig. 4는 A 소수력 발전소 지점의 경우, 설계유량의 변화에 따른 연 평균가동율, 설비용량 및 연간 발전량의 변화를 나타내는 그림이다.

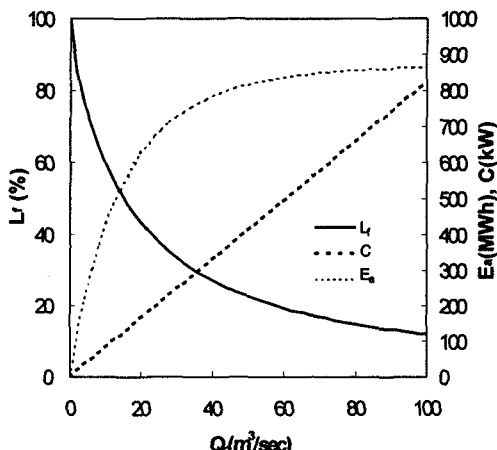


Fig. 4. Performance characteristics at A SHP site.

Table 1. Initial design specification of A SHP plant

Parameters	Initial design values
$A(km^2)$	845.6
$Q_r(m^3/sec)$	17.8
$H_e(m)$	13.6
$P(kW)$	2,000.0

A 소수력 발전소의 초기 설계 제원으로 유효낙차는 13.63 m를 적용하였다. Table 1에서 설계유량은 17.8  $m^3/sec$  이므로, 유량지속곡선상의 시간비는 21.8%이고, Fig. 4로부터 연 평균 가동율은 46.2%, 연간 예상 발전량은 8,094.0 MWh로 산정 됨을 알 수 있다.

## 4.2 A 소수력 발전소의 연평균 가동률 및 발전량 분석

Fig. 5 는 본 연구를 통하여 개발된 소수력 발전소의 성능예측 기법을 이용한 A 소수력 발전소의 성능예측 결과를 나타낸다. 여기서 낙차와 효율이 일정할 경우에 변화할 경우의 가동률, 연간 전기생산량 등 제반 성능을 알 수 있다. 또한 Fig. 6은 A 소수력 발전소의 1989년부터 2000년 까지 12년간의 실제 운영실적과 성능예측 결과를 비교한 것으로서 성능예측결과가 실제 운영실적과 근사함을 나타내주고 있다.

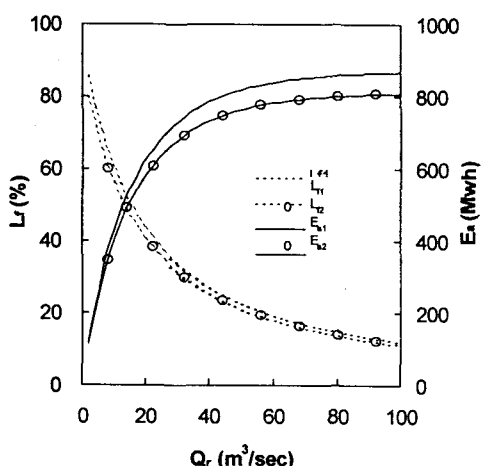


Fig.5. Performance prediction A SHP plant.

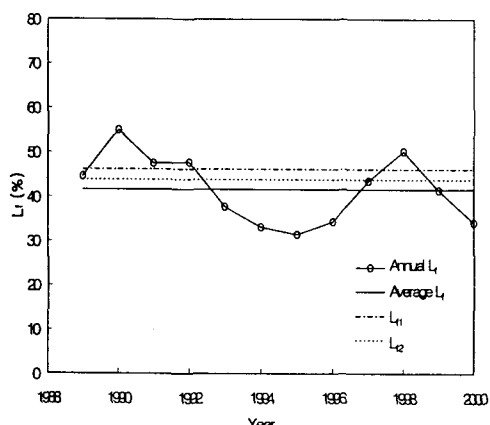


Fig. 6. Performance evaluation at A SHP plant.

## 5. 결 론

미계측 하천에 위치하게 되어 수문자료가 부족한 소수력 개발 지점에 대한 유량지속곡선 작성, 성능 및 출력 저하량 예측 기법이 조합된 소수력 발전소의 성능예측 기법을 구축하였고, 이를 기준 운영중인 소수력 발전소에 적용한 결과 기법의 신뢰성이 확보되었다. 따라서 본 연구의 결과를 이용함으로서 신규 소수력 개발 시에 정확한 초기 설계와 성능예측으로 해당유역의 합리적인 수자원 이용이 가능하게 되었다.

## 참 고 문 헌

- 1) 차종희 외, 소수력발전의 설계에 관한 연구, 대한전기협회, 조사연구논문, 1982.
- 2) 이철형 외, 소수력발전소 건설 타당성조사 기본 계획 연구, 한국에너지기술연구소, 연구보고서, 1997.
- 3) 石崎彰, 古市正敏, 小水力發電 読本, オーム社, 1981.
- 4) 박완순, 이철형, 심명필, “국내 소수력발전입지의 개발타당성 분석”, 대한토목학회논문집, Vol. 17, No. II-3, 1997, pp. 197-205.
- 5) 김승, “우리나라 수자원 정책의 문제점과 대안”, 물위기 시대 우리나라 수자원 정책, 환경정책 시민연대, 2000, pp 187-201.
- 6) Park, Wan-Soon, Lee, Chul-Hyung, and Jeong, Sang-Man(2001), "An Analysis of Performance Characteristics for Small Hydro Power Plants", KWRA, Vol. 2, No. 1, 2001, pp. 11-19.
- 7) Robert Noyes, Small and Micro Hydro-Electric Power Plants "Technology and Feasibility", Energy Technology Review, No.60, Noyes Data Corporation, U.S.A., 1980, pp 165-171.